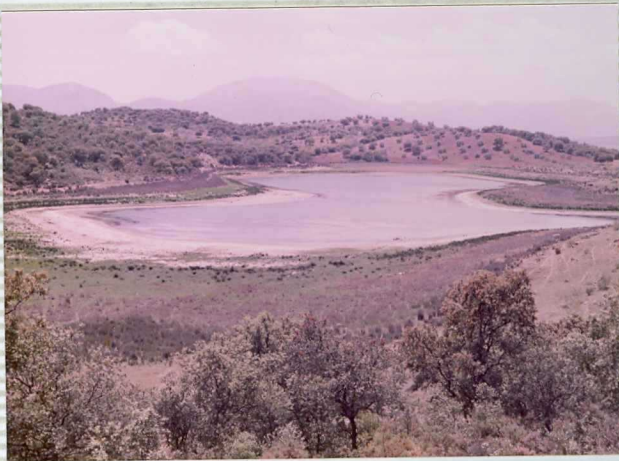




17-42-IB-9300-PV.- Paisaje del Pliocuaternario.
En primer término, y a la derecha, nivel conglomerárico más resistente a la erosión.



17-42-IB-9301-PV.- Laguna -de origen probablemen-
te kárstico, relacionado con yesos- en el Trías
de Antequera. Sur de Salinas.



17-42-IB-9302-PV.- Paisaje típico del Subbético medio del N. y NO de la Hoja . Relieves suaves debido a la naturaleza muy margosa de las formaciones cretácicas y jurásicas, destacando sólo relieves más abruptos en las calizas del Lías inferior-medio (primer plano a la derecha -Sierra de Archidona- y al fondo -Sierra de las Aracas).



17-42-IB-9303-PV.- El Triás de Antequera y su paisaje particular vistos desde la Sierra de Gibalto. En primer término, cuaternario y pliocuaternario -zona llana- y calizas y dolomías del Triás inferior-medio (gris). En último término, las Sierras de Archidona y del Pedroso (Subbético medio).



17-42-IB-9304-PV.- El Peñón de los Enamorados - (bloque mesozoico de tipo Subbético interno con su serie invertida) visto desde la Vega de Antequera. A su derecha se ve el Trías de Antequera, y a su izquierda formaciones paleógenas.



17-42-IB-9305-PV.- El puerto de los Alazores, en el ángulo SE. de la Hoja. En las zonas deprimidas, formaciones fundamentalmente del Cretácico inf. y paleógenas. Los relieves corresponden a calizas jurásicas, sobre todo del Lías. Al fondo Sierra Gorda de Loja.



17-42-IB-9306-PV.- La Sierra de San Jorge (porción oriental de la Alta Cadena), constituida -- por calizas (claras) y dolomías (con matorral) - del Líás, cabalgante sobre la depresión de Alfarinate (a la derecha), con formaciones terciarias. Al fondo, Sierra Gorda de Loja y en último extremo, a la derecha, Sierra Nevada.



17-42-IB-9307-PV.- La terminación oriental de la Sierra de San Jorge (a la derecha) y la zona de la Manga (centro-izquierda): Porción oriental de la Alta Cadena. Las depresiones blandas corresponden a afloramientos del Cretácico inf. y Paleógeno y los relieves a las calizas del Lías. Vista desde el pie meridional de la Sierra del Gibalto.



17-42-IB-9308-PV.- En segundo término, vista de la superficie de erosión labrada sobre el Trías de Antequera; a la derecha, el Peñón de los Enamorados y al fondo, fuera ya del territorio de la Hoja, la Sierra del Torcal. Vista desde la Sierra de Archidona.



17-42-IB-9309-PV.- Facies arcillosa del Trías de Antequera. Carretera de ésta población a Archidona.

17-42-IB-9310-PV.- Manantiales salinos (cloruro sódico) en el Trías de Antequera. N. de Fuente - Camacho.





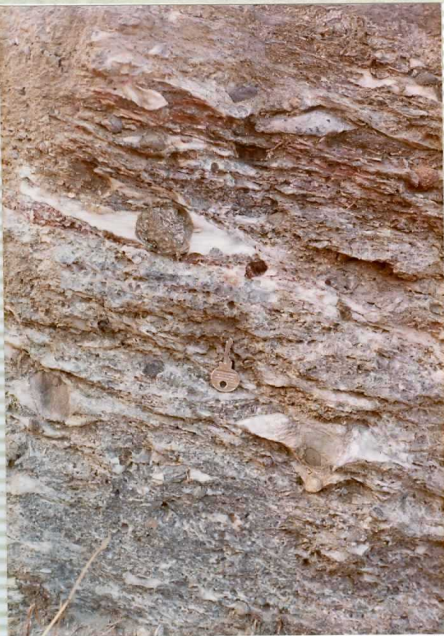
17-42-IB-9311-PV.- Calizas tipo Muschelkalk.
Trías de Antequera. Sur de Archidona.



17-42-IB-9312-PV.- Ofitas explotadas por áridos.
Trías de Antequera del S de Archidona.



17-42-IB-9313-PV.- Aspecto de los yesos con cantos (la mayoría de éstos de calizas y dolomías tipo Muschelkalk); Es apreciable el bandeadido de la formación, inclinado hacia la derecha. Trías de Antequera del SE de Archidona.



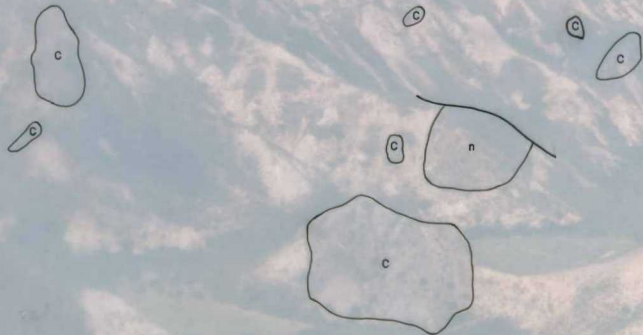
17-42-IB-9314-PV.- Detalle de las sombras de presión, constituidas por yeso cristalino, dispuestos planamente alrededor de cantos y paralelamente al bándeado de los yesos con cantos. Trías de Antequera. C.^a. de Antequera a Málaga.



17-42-IB-9315-PV.- Paso lateral neto entre yeso (izquierda) y anhidrita (derecha). Trías de Antequera. Cantera junto a la carretera de Antequera a Málaga.



17-42-IB-9316-PV.- Grandes bloques de calizas y dolomías (c) tipo Muschelkalk caóticamente dispuestas en la formación de yesos con cantos. --- Trías de Antequera. Valle del Guadalhorce. También se observa algún otro bloque de material no tríásico (n).



17-42-IB-9316-PV.- Grandes bloques de calizas y dolomías (c) tipo Muschelkalk caóticamente dispuestas en la formación de yesos con cantos. --- Trías de Antequera. Valle del Guadalhorce. También se observa algún otro bloque de material no tríásico (n).



17-42-IB-9317-PV.- Bloque de caliza marmórea y --
calcoesquistos de material presumiblemente no --
tríasico en la formación de yesos con cantos. --
Trías de Antequera en el Arroyo Marín, al sur de
Archidona. En primer término, materiales aluvia-
les, muy arcillosos.



17-42-IB-9318-PV.- Bloque de lutitas y microbrechas probablemente eocenas, algo "metamórficas" y ferruginizadas, en el Trías de Antequera. Al fondo la Sierra de Archidona, S.E. de esta población.



17-42-IB-9318-PV.- Bloque de lutitas y microbrechas probablemente eocenas, algo "metamórficas" y ferruginizadas, en el Trías de Antequera. Al fondo la Sierra de Archidona, S.E. de esta población.



17-42-IB-9319-PV.- Detalle del replegamiento de
filitas. Bloque exótico en el Trías de Antequera.
Angulo S.O. de la Hoja.



17-42-IB-9320-PV.- Contraste de afloramientos en materiales tríasicos: A la izquierda, la zona cubierta de matorral corresponde a dolomías; a la derecha, calizas. Puerto de los Alazores. S.E. - de la Hoja.



17-42-IB-9321-PV.- Facies vacuolar de las rocas volcánicas intercaladas en las dolomías del Lías basal de la Sierra de San Jorge. S.E. de la Hoja.



17-42-IB-9322-PV.- Laminación algar con estructuras fenestrales en dolomías del Liás inferior. -- Parte S.E. de la Sierrecilla de Salinas.



17-42-IB-9323-PV.- Nivel con materia orgánica (oscuro) a techo de secuencia mareal. Intraclastos - procedentes de dicho nivel a la base del banco suprá yacente. Cantera al S.O.de la Sierrecilla de Salinas. Lías inferior medio.



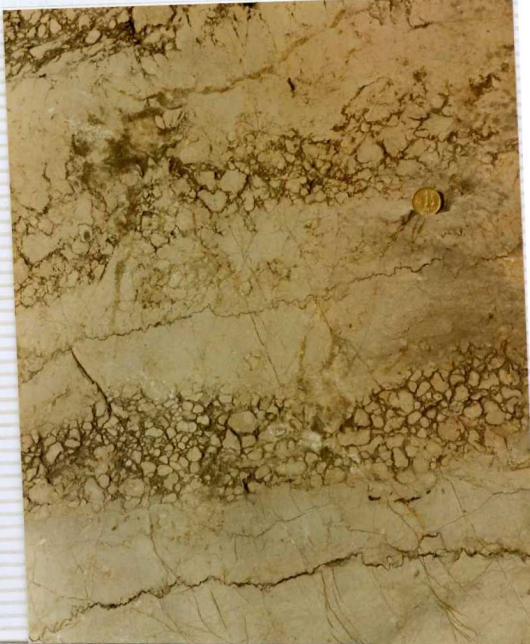
17-42-IB-9324-PV.- Secciones de *Lithiotis* (peleci-podos) en calizas micríticas del litas inferior me-dio. Cantera al S.O. de la Sierrecilla de Salinas.



17-42-IB-9325-PV.- Dique micrítico (probablemente neptúnico) con bandeados de relleno, atravesando se cuencias mareales en calizas del Lías inferior-me dio. Cantera al S.O. de la Sierrecilla de las Salinas.



17-42-IB-9326-PV.- Silicificación nodular en calizas óolíticas tríasicas. La silicificación ha respetado la estructura óolítica . Parte norte de la depresión de los Alazores. Copia fotográfica sin negativo, realizada a partir de diapositiva (col.A. Pineda V.).



17-42-IB-9327-PV.- Secuencias gradadas con oncolitos en la base. Calizas del Lías inferior-medio - con planos de estilolitización. Cantera del Sur del Peñón de los Enamorados.



17-42-IB-9328-PV.- Aspecto de los nódulos estratiformes de silex en las calizas con espiícululas del lías superior-medio. Carretera de la estación de Archidona a Villanueva de Algaidas, en el borde -- norte de la Hoja.



17-42-IB-9329-PV.- Afloramiento de margocalizas --
del Lías superior en la terminación N.O. de la Sie
rra de las Arcas.



17-42-IB-9330-PV.- Detalle, en corte, de la estructura de la caliza nodulosa jurásica s.l. de la falda NE. de la Sierra del Gibalto. Una parte de los nódulos calcáreos son secciones de ammonites.

17-42-IB-9331-PV.- Abundancia de ammonites en la -
superficie de un estrato de la caliza nodulosa jurá-
sica, s.l., de la falda NE. de la Sierra de Gibal-
to.





17-42-IB-9332-PV.- Banco de caliza oolítica (contacto neto a su base, a la izquierda de la fotografía) en caliza nodulosa roja (Jurásico. S.L.) Junto a la carretera de Villanueva del Trabuco en el puerto de los Alazores, casi en el límite provincial Málaga-Granada.



17-42-IB-9333-PV.- Típico suelo de cultivo rojo-violáceo originado por la formación radiolarítica del Dogger (depresión). En primer término, margas blancas del Cretácico inferior cabalgadas por ella, y en último (blanqueando) las calcarenitas con sílex del Malm inferior. 6 km al N. de Archidona.



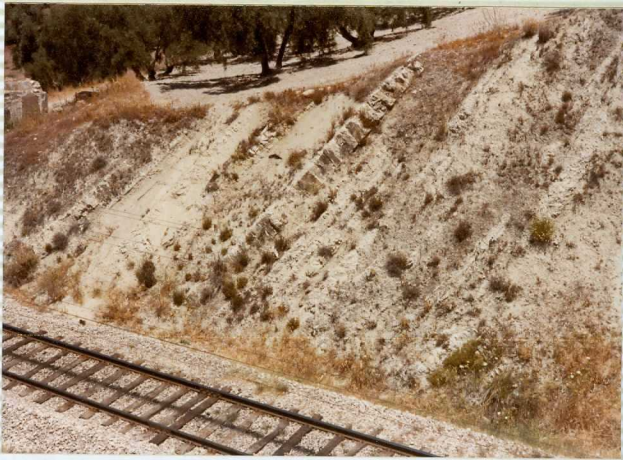
17-42-IB-9334-PV.- Radiolaritas y margas radiolárticas del Dogger en afloramiento. 6 km. al N. de Archidona, en la vía ferrea.



17-42-IB-9335-PV.- Calcareitas son silex del Malm inferior. Estación de Archidona. Las silicificaciones respetan la estructura bandeadada de las capas y pueden observarse bien en la parte central de las dos más potentes. Copia fotográfica sin negativo, realizada a partir de diapositiva (col. A. Pineda v.).



17-42-IB-9336-PV.- Alternancia de margas y arcillas con calizas nodulosas. Malm superior. Cruce del camino de Archidona a El Tejar con el F.C. Bobadilla-Granada. N.O. de la Hoja.



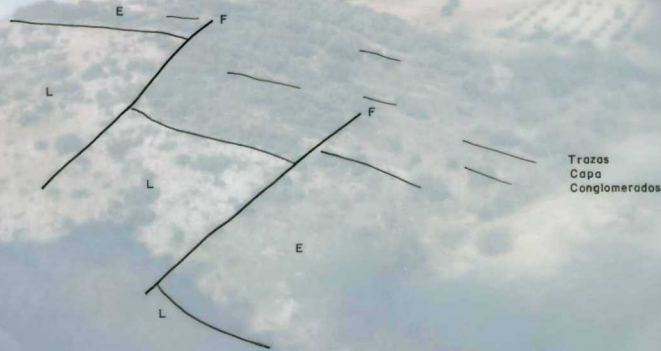
17-42-IB-9337-PV.- Margocalizas blancas del Cretá-
cico inferior. 6 km. al N. de Archidona. Vía fér---
rrea Bobadilla-Granada.



17-42-IB-9338-PV.- Calizas de Microcodium (probable edad Paleocena). 3 kms. al NO de Villanueva -- del Trabuco.



17-42-IB-9339-PV.- Conglomerados y brechas (Eoceno) discordantes sobre calizas liásicas (L). Fallas posteriores (F) desplazan el conjunto. Entrada occidental a la depresión de los Alazores.



17-42-IB-9339-PV.- Conglomerados y brechas (Eoceno) discordantes sobre calizas liásicas (L). Fallas posteriores (F) desplazan el conjunto. Entrada occidental a la depresión de los Alazores.



17-42-IB-9340-PV.- Serie blanda paleógena (depresión) probablemente discordante sobre calizas y dolomías liásicas. Frente a la terminación NE. de la Sierra del Gibalto.



17-42-IB-9341-PV.- Bloque de microbrecha eocena en una matriz arcillosa de la misma edad. El origen del bloque es, más que clástico, probablemente debido a dislocación tectónica de una delgada capa competente es una serie muy mayoritariamente plástica. Carretera de Vva.del Trabuco a Vva.Rosario, a la salida de la primera población.



17-42-IB-9342-PV.- Detalle de un banco de caliza
de nummulítidos alternando con margas blancas. -
Eoceno. En la carretera, 3 km. al NO. de Villa-
nueva del Trabuco.



17-42-IB-9343-PV.- Flysch calcáreo (Oligoceno). A la derecha, un tramo calcarenítico presenta "convolutes". 4 km. al ESE de Villanueva del Trabuco.



17-42-IB-9344-PV.- Flych areniscoso-micáceo (Mio-ceno inferior). Cauce del Guadalhorce al N. del Cerro Limón. S.O. de la Hoja. Altura de la foto, -- unos 6 m.



17-42-IB-9345-PV.- Flych areniscoso-micáceo formando las lomas blandas del segundo término (estribaciones NE. del Cerro Limón, S.S.O. de la Hoja). En último término, calizas del liás (Sierra Gorda de Vva. del Trabuco) fuera ya de la Hoja.



17-42-IB-9346-PV.- Afloramientos de areniscas tipo "Aljibe" (Mioceno inferior) al NE de Villanueva del Trabuco.



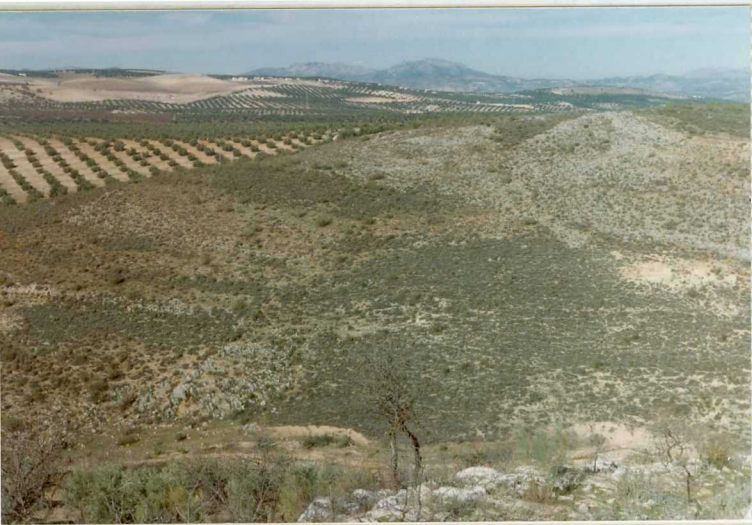
17-42-IB-9347-PV.- Facies microconglomerática de las areniscas tipo "Aljibe" (Mioceno inferior). Junto al pie meridional de la Sierra de Gibalto.



17-42-IB-9348-PV.- Aspecto de las silexitas (Paleógeno o Mioceno inferior). E. de la Sierrecilla de Salinas.



17-42-IB-9349-PV.- Brechas de escasa o nula matriz, calcáreas, que afloran bajo el Pliocuaternario, inmediatamente al O. de la Sierra Gorda de Loja.



17-42-IB-9350-PV.- Afloramientos de brechas de escasa o nula matriz, calcáreas, que afloran bajo el Pliocuaternario (éste en tonos blancos en la parte superior izquierda de la foto). Oeste de Sierra Gorda de Loja.



17-42-IB-9351-PV.- Pliocuaternario (zona de olivar) ligeramente inclinado al E., discordante sobre calizas liásicas y arcillas y microbrechas paleógenas (éstas, a su vez, probablemente discordantes sobre aquéllas, se ven a la izquierda de la fotografía).



17-42-IB-9352-PV.- Conglomerados y limos pliocuaternarios verticalizados en las proximidades del Trías de Antequera debido probablemente a un cierto funcionamiento diapírico de éste. Inmediatamente al N. de Salinas.



17-42-IB-9353-PV.- Arenas pliocuaternarias con es-
tratificación cruzada. Carretera Antequera-Granada
casi en el límite E. de la Hoja.



17-42-IB-9354-PV.- Discordancia local en el Pliocuaternario: arenas con estratificación cruzada (sup. dcha. de la foto) sobre materiales arcillo-limosos. Carretera Antequera -Granada casi en el límite E. de la Hoja.



17-42-IB-9355-PV.- Calizas y margas lacustres. Pliocuaternario: Inmediaciones del cortijo de Atochar.



17-42-IB-9356-PV.- Detalle de fanglomerado de un cono aluvial pleistoceno. Borde de la Sierra de las Arcas.



17-42-IB-9357-PV.- Desprendimiento de ladera. Vertiente norte de la Sierra de San Jorge, constituida fundamentalmente por calizas liásicas.



17-42-IB-9358-PV.- La Sierra de Archidona - (sinclinal complejo, en conjunto cabalgante hacia el norte - izda de la foto-). En las laderas de olivar de la izda. aflora el Cretácico inferior, sobre el que cabalgan las calizas liásicas de la Sierra. Vista tomada desde el E.



17-42-IB-9359-PV.- Calizas liásicas cabalgantes sobre margas blancas del Cretácico - inferior: Vista desde el N. del cabalgamiento norte de la Sierra de Archidona.



17-42-IB-9360-PV.- Estrías de falla del desgarre dextral que limita meridionalmente la Sierra de San Jorge, en la Alta Cadena.



17-42-IB-9361-PV.- Tectónica reciente: Sinclinal en margas lacustres y arcillas rojizas pliocuaternarias. 5 km al E. de Salinas.



17-42-IB-9362-PV.- Tectónica reciente: Falla inversa sin sedimentaria afectando a arenas y arcillas pliocuaternarias. Cantejas junto a la C^a Antequera-Granada casi en límite E. de la Hoja.



17-42-IB-9363-PV.- Tectónica reciente: Frac-
turas de compresión afectando las encasta-
mientos superiores de conos aluviales pleis-
tocenos del Borde sur de la Sierra de las
Arcas.



17-42-IB-9364-PV.- Vista en dirección oeste, desde la Sierra de Gibalto, de la mayor parte de la mitad meridional de la Hoja. Destaca la superficie de erosión, ligeramente inclinada hacia el S.O.. labrada sobre el --- Trías de Antequera; Delante: la depresión - de Villanueva del Trabuco con formaciones - Paleógenas: A la derecha el Peñón de los -- Enamorados; y a la izquierda la Sierra del Torcal.



17-42-IB-9365-PV.- Depresión kárstica desa
rrollada sobre calizas y dolomías del Lías.
Parte N. de la Sierra Gorda de Villanueva
de Trabuco.



17-42-IB-9366-PV.- Lapiaz desarrollado sobre calizas del Lías. Parte occidental de la depresión de los Alazores.



17-42-IB-9367-PV.- Uvala en el Trías de Antequera, debida a la karstificación de los yesos infrayacentes. 6 km. al sur de Archidona.